

Figure 1. Carte de bathymétrie multifilaire avec localisation des podmarks. Multibeam bathymetry map with location of podmarks.

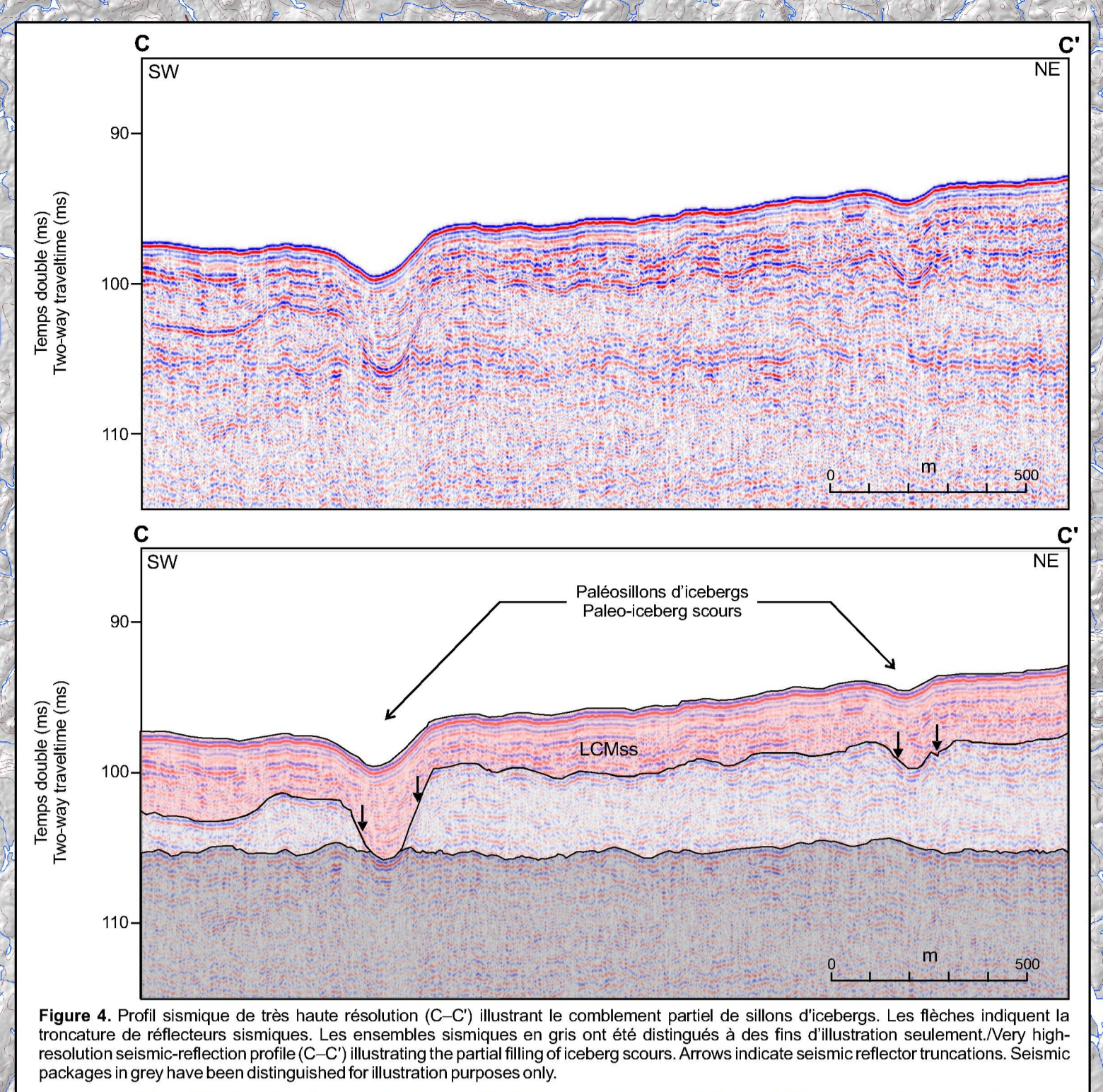


Figure 4. Profil sismique de très haute résolution (C-C') illustrant le comblement partiel de sillons d'icebergs. Les flèches indiquent la transition de réflecteurs sismiques. Les événements sismiques en gris ont été distingués à des fins d'illustration seulement. Very high-resolution seismic-reflection profiles (C-C') illustrating the partial filling of iceberg scours. Arrows indicate seismic reflector transitions. Seismic packages in grey have been distinguished for illustration purposes only.

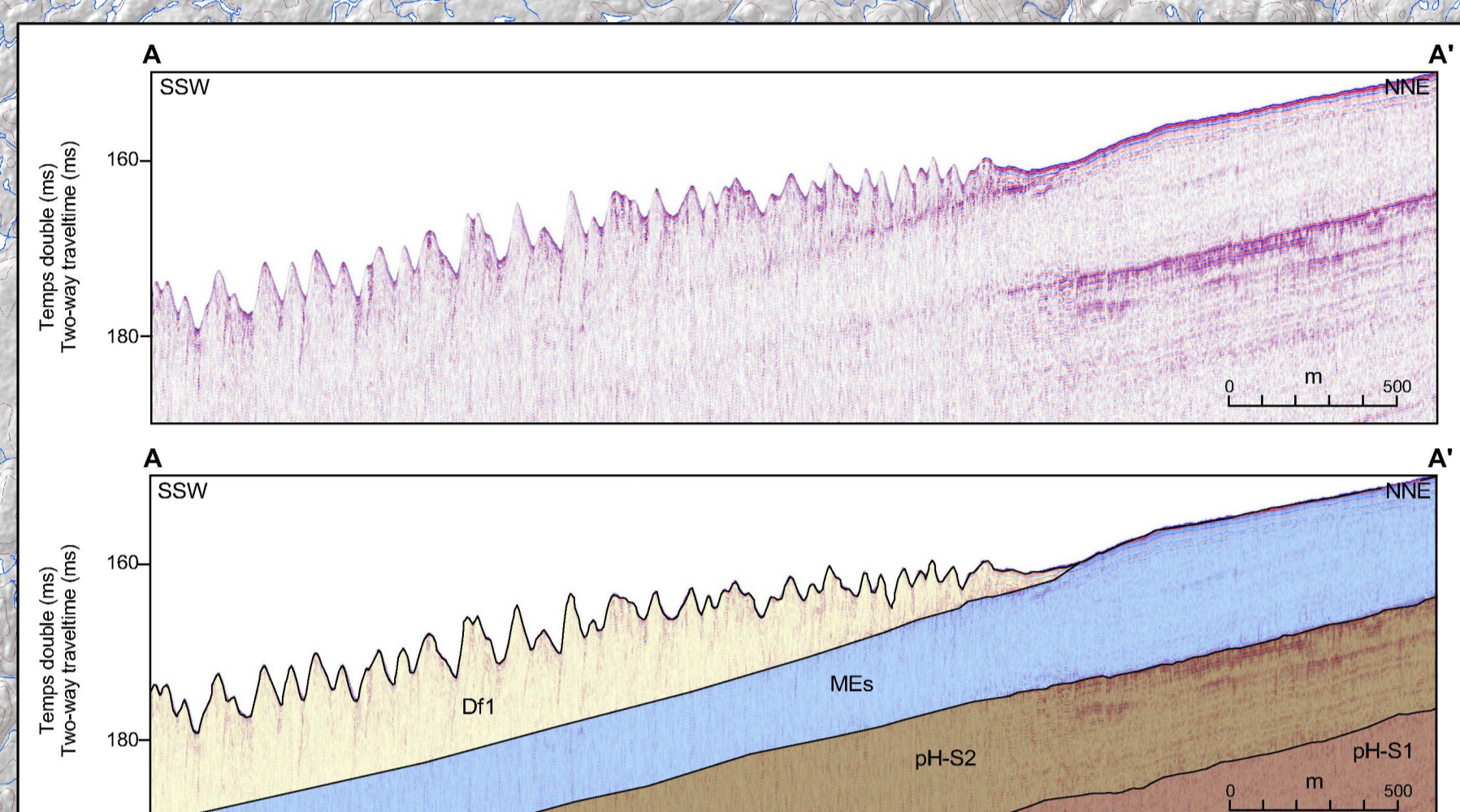


Figure 2. Profil sismique de très haute résolution (A-A') illustrant un champ de dunes au sein de l'estuaire moyen du Saint-Laurent. Very high-resolution seismic-reflection profile (A-A') illustrating a dune field within the middle St. Lawrence River estuary.

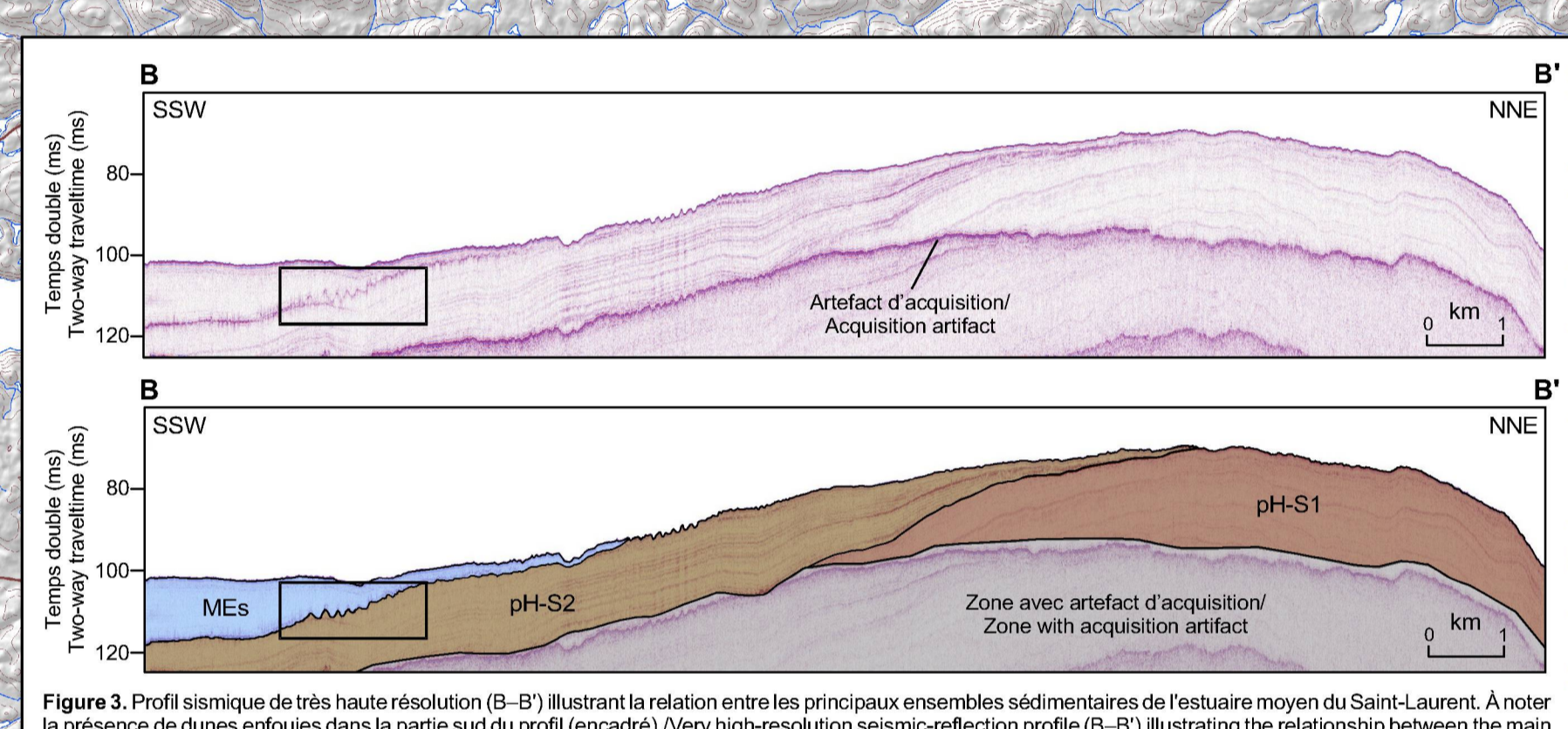


Figure 3. Profil sismique de très haute résolution (B-B') illustrant la relation entre les principales assemblées sédimentaires de l'estuaire moyen du Saint-Laurent. À noter la présence de dunes enfouies dans la partie sud du profil (encadré). Very high-resolution seismic-reflection profile (B-B') illustrating the relationship between the main sedimentary assemblages of the middle St. Lawrence River estuary. Note the presence of buried dunes in the southern part of the profile (inset).

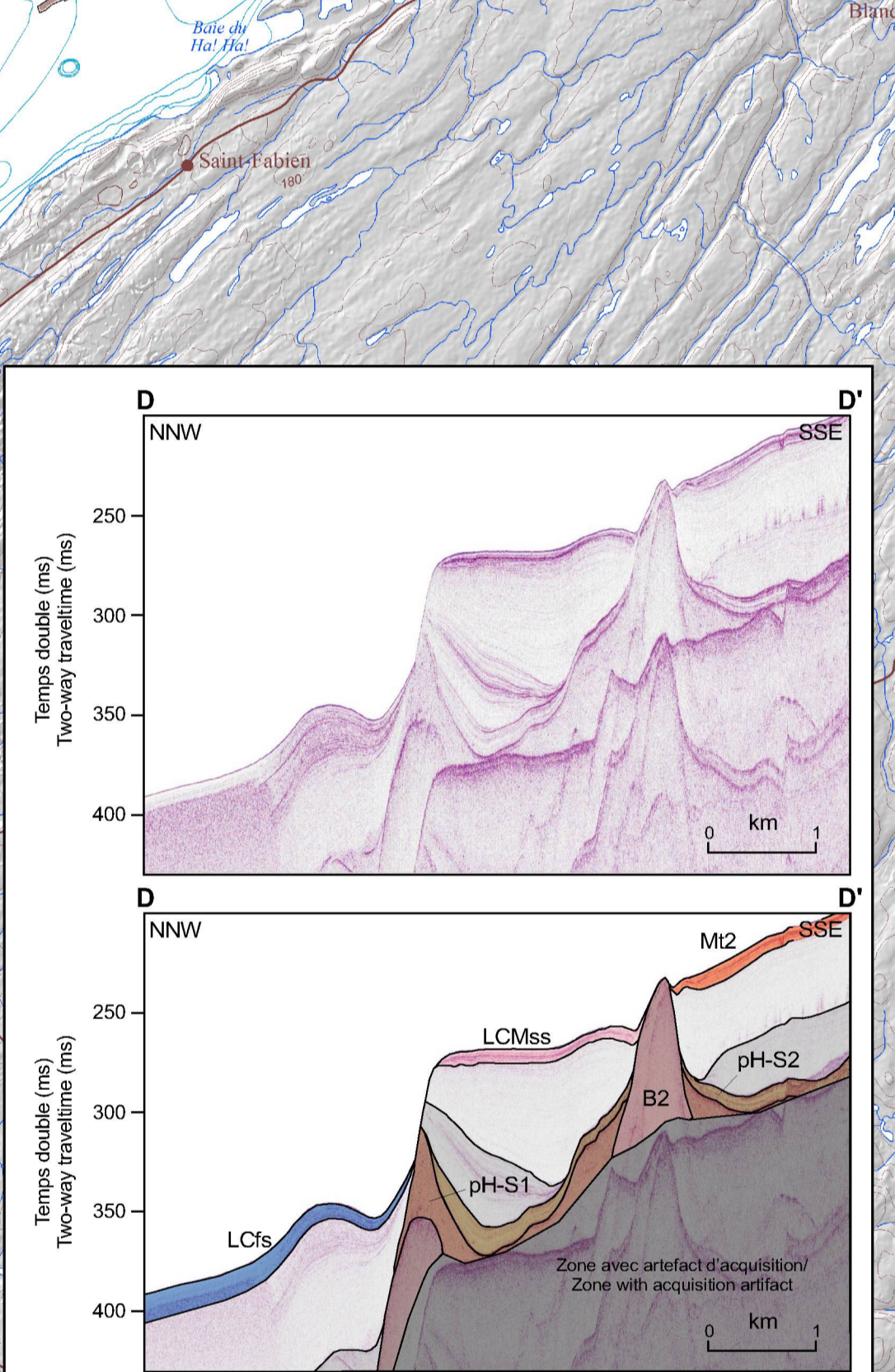


Figure 5. Profil sismique de très haute résolution (D-D') illustrant des crêtes de socle et de la géométrie des unités sédimentaires avoisinantes. Les événements sismiques en gris ont été distingués à des fins d'illustration seulement. Very high-resolution seismic-reflection profile (D-D') illustrating bedrock ridges and the geometry of neighbouring sedimentary units. Seismic packages in grey have been distinguished for illustration purposes only.

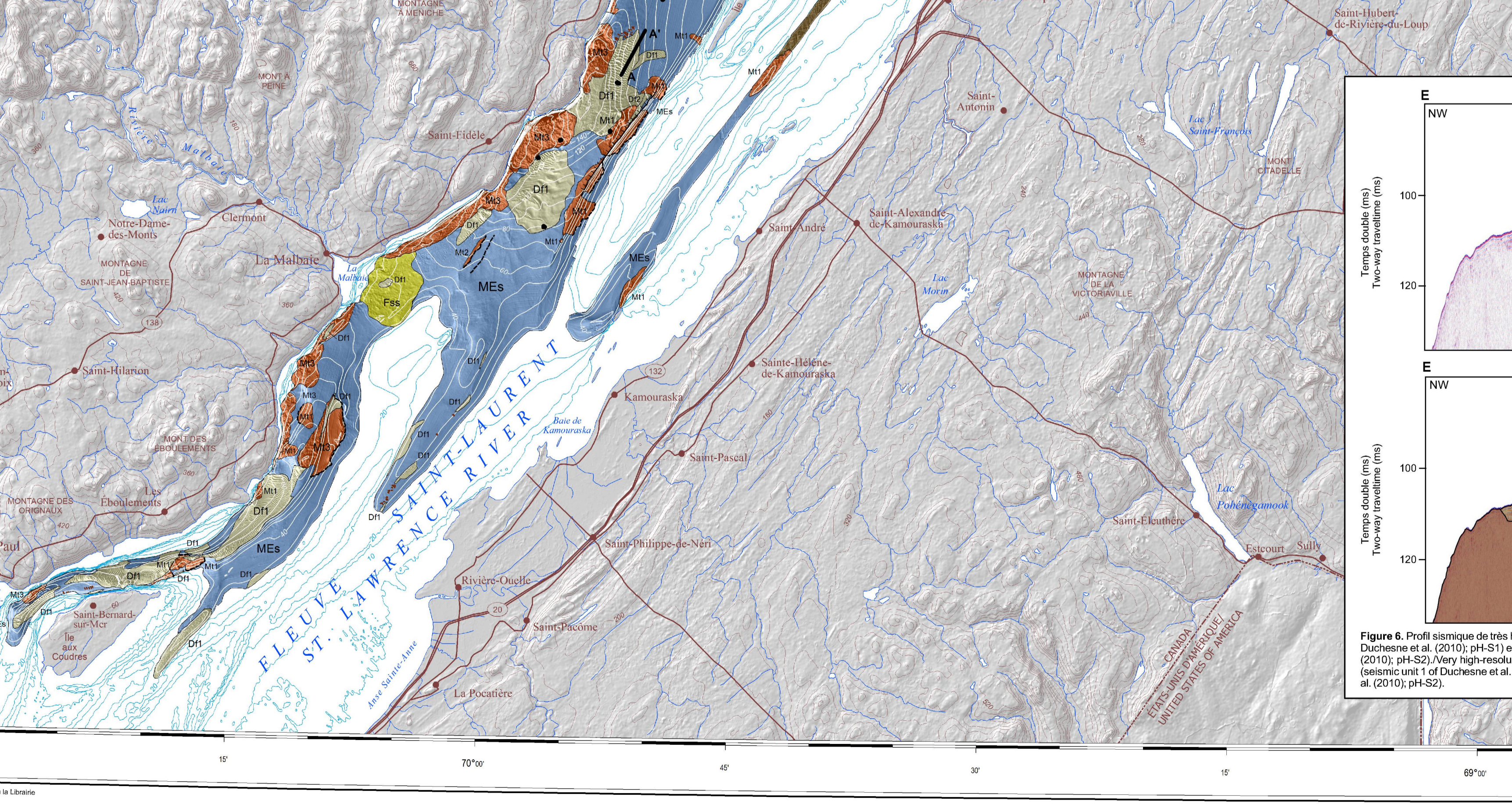


Figure 6. Profil sismique de très haute résolution (E-E') illustrant la relation entre les sédiments pré-holocène (unité sédimentaire 1 de Duchesne et al. (2011); pH-S1) et les sédiments du Pléistocène terminal à l'Holocène précoce (unité sédimentaire 2 de Duchesne et al. (2011); pH-S2). Very high-resolution seismic-reflection profile (E-E') illustrating the relationship between pre-Holocene sediments (unit 1 of Duchesne et al. (2011); pH-S1) and latest Pleistocene to early Holocene sediments (unit 2 of Duchesne et al. (2011); pH-S2).

NOTES DESCRIPTIVES
INTRODUCTION
DONNÉES GÉOSCIENTIFIQUES
MÉTHODOLOGIE
REMERCIEMENTS
INTRODUCTION
GÉOSCIENTIFIQUE DATA
MÉTHODOLOGIE
ACKNOWLEDGMENTS
RÉFÉRENCES

QUATÉNAIRE SÉDIMENTS DE L'Holocène
QUATÉNAIRE HOLOCENE SEDIMENTS
SÉDIMENTS PRÉ-HOLOCÈNE ET DE L'HolocÈNE PRÉCÈDE
PRÉ-QUATÉNAIRE